

**АДСОРБЦИЯ ЩЕЛОЧНЫХ АТОМОВ
НА ПОВЕРХНОСТИ ПЕРЕХОДНЫХ МЕТАЛЛОВ
С УЧЕТОМ ПОТЕНЦИАЛА ИЗОБРАЖЕНИЯ**

О. М. Браун, Л. Г. Ильченко, Э. А. Пашицкий

В рамках модели Андерсона с учетом взаимодействия адатома с поверхностными плазмонами металла рассчитаны энергия хемосорбции и дипольный момент щелочных адатомов. Получены зависимости изменения работы выхода и энергии хемосорбции от покрытия подложки адатомами. Численные результаты для адсорбции цезия на гранях (110) и (111) вольфрама удовлетворительно согласуются с экспериментальными данными до покрытий, соответствующих минимуму работы выхода.

Электростатические силы изображения, возникающие за счет перераспределения электронов вблизи границы раздела сред под действием внешних зарядов, играют важную роль в процессе хемосорбции атомов щелочных металлов на поверхности переходных металлов, когда энергия адсорбции определяется в основном ионной связью [1]. Применяемый обычно для описания хемосорбции метод модельного гамильтониана Андерсона [2] не учитывает кулоновского взаимодействия между электронами металла и, следовательно, не описывает силы изображения, так что для вычисления ионного вклада в энергию связи адатома с подложкой приходится прибегать к искусственным приемам [3].

С другой стороны, известно, что потенциал изображения внешнего заряда вблизи поверхности металла можно получить, если учесть его взаимодействие с поверхностными плазмонами [4-6]. Этот метод успешно применяется для расчета спектральных характеристик адсорбционных систем [7, 8].

В настоящей работе на основе обобщенного гамильтониана Андерсона, в который включено взаимодействие адатомов с поверхностными плазмонами металла, проведен самосогласованный расчет энергии хемосорбции и дипольного момента адатомов в зависимости от степени покрытия Θ . Показано, что учет потенциала изображения и деполяризации адатомов в результате их диполь-дипольного взаимодействия приводит к удовлетворительному согласию теоретических зависимостей теплоты адсорбции q и изменения работы выхода $\Delta\Phi$ от Θ для атомов цезия на гранях (110) и (111) вольфрама до покрытий, соответствующих минимуму работы выхода.

1. Обобщенный гамильтониан Андерсона

Для описания процесса хемосорбции будем исходить из модельного гамильтониана, в котором наряду с эффектами андерсоновской гибридизации и кулоновского отталкивания электронов на адатоме содержится взаимодействие ионного остова V_s и валентного электрона V_i адатома с поверхностными плазмонами металла

$$H = H_{\text{And}} + V_s + V_i + \sum_{\mathbf{q}} \omega_{\mathbf{q}} \left(a_{\mathbf{q}}^{\dagger} a_{\mathbf{q}} + \frac{1}{2} \right). \quad (1)$$

$$H_{\text{And}} = \sum_{\sigma} \epsilon_A n_{A\sigma} + \sum_{\mathbf{k}\sigma} \epsilon_{\mathbf{k}} n_{\mathbf{k}\sigma} + U_A n_{A\sigma} n_{A-\sigma} + \sum_{\mathbf{k}\sigma} (V_{A\mathbf{k}} c_{A\sigma}^+ c_{\mathbf{k}\sigma} + \text{с. с.}), \quad (2)$$

$$V_s = \sum_{\mathbf{q}\sigma} \alpha_s(\mathbf{q}) n_{A\sigma} a_{\mathbf{q}} + \text{с. с.}; \quad V_i = - \sum_{\mathbf{q}} \alpha_i(\mathbf{q}) a_{\mathbf{q}} - \text{с. с.} \quad (3)$$

Здесь $\epsilon_{\mathbf{k}}$ — энергия электрона в металле в состоянии $|\mathbf{k}\rangle$, отсчитанная от уровня Ферми; ϵ_A — энергия электрона на атоме в состоянии $|A\rangle$ с учетом сдвига ее в приповерхностном поле металла,¹ $V_{A\mathbf{k}}$ — матричный элемент гибридизации состояний атома и металла; U_A — энергия кулоновского отталкивания электронов с антипараллельными спинами на атоме; $\alpha_s(\mathbf{q})$ и $\alpha_i(\mathbf{q})$ — константы взаимодействия валентного электрона и ионного остова атома с поверхностными плазмонами с энергией $\omega_{\mathbf{q}}$ и двумерным импульсом \mathbf{q} (в плоскости поверхности XOY); $c_{A\sigma}^+$ ($c_{A\sigma}$) и $c_{\mathbf{k}\sigma}^+$ ($c_{\mathbf{k}\sigma}$) — фермиевские операторы рождения (уничтожения) электрона со спином σ , $n_{A\sigma} = c_{A\sigma}^+ c_{A\sigma}$ и $n_{\mathbf{k}\sigma} = c_{\mathbf{k}\sigma}^+ c_{\mathbf{k}\sigma}$ — операторы чисел заполнения в состояниях $|A\rangle$ и $|\mathbf{k}\rangle$; $a_{\mathbf{q}}^+$ ($a_{\mathbf{q}}$) — бозевские операторы рождения (уничтожения) поверхностных плазмонов (здесь и ниже используется атомная система единиц).

Согласно [11], константа взаимодействия ионного остова с поверхностными плазмонами равна

$$\alpha_s(\mathbf{q}) = \left(\frac{\pi \omega_p^2}{2 S q \omega_{\mathbf{q}}} \right)^{1/2} \exp(-qx). \quad (4)$$

Здесь ω_p — частота объемных плазмонов в металле, S — площадь поверхности, x — расстояние от центра атома до поверхности, а $\omega_{\mathbf{q}}$ — частота поверхностных плазмонов, определяемая выражением

$$\omega_{\mathbf{q}}^2 = \frac{\omega_p^2}{2} \frac{1 + \epsilon_s(\mathbf{q})}{1 - \epsilon_s(\mathbf{q})}, \quad (5)$$

где статическая поверхностная диэлектрическая проницаемость $\epsilon_s(\mathbf{q})$ связана с объемной диэлектрической проницаемостью электронов металла $\epsilon(q_x, \mathbf{q}; \omega)$ соотношением

$$\epsilon_s(\mathbf{q}) = \frac{q}{\pi} \int_{-\infty}^{\infty} dq_x \{ (q_x^2 + \mathbf{q}^2) \epsilon(q_x, \mathbf{q}; 0) \}^{-1} \quad (6)$$

(q_x — составляющая импульса, перпендикулярная поверхности). В частности, в приближении Томаса—Ферми, когда

$$\epsilon(q_x, \mathbf{q}; 0) = 1 + \frac{x^2}{q_x^2 + \mathbf{q}^2},$$

где x — обратный радиус экранирования заряда электронами проводимости металла, из (6) получаем

$$\epsilon_s(\mathbf{q}) = q (q^2 + x^2)^{-1/2}.$$

Хотя константа $\alpha_s(\mathbf{q})$ может отличаться от $\alpha_i(\mathbf{q})$ из-за проникновения электронного облака атома в металл, в дальнейшем для простоты предполагается, что $\alpha_s = \alpha_i \equiv \alpha(\mathbf{q})$. С помощью подстановки [4]

$$a_{\mathbf{q}} = b_{\mathbf{q}} + \alpha^*(\mathbf{q})/\omega_{\mathbf{q}}$$

исключаем из гамильтонiana (1) член V_i

$$H = H_{\text{And}} + \tilde{V}_s + \sum_{\mathbf{q}} \omega_{\mathbf{q}} \left(b_{\mathbf{q}}^+ b_{\mathbf{q}} + \frac{1}{2} \right) - \varphi, \quad (7)$$

$$\varphi = \sum_{\mathbf{q}} \alpha^*(\mathbf{q}) \alpha(\mathbf{q}) / \omega_{\mathbf{q}}; \quad \tilde{V}_s = \sum_{\mathbf{q}\sigma} \alpha(\mathbf{q}) n_{A\sigma} b_{\mathbf{q}} + \text{с. с.}, \quad (8)$$

¹ Для простоты рассматривается только одна орбиталь s -типа на атоме, поскольку учет p -орбитали, существенно усложняя расчет и увеличивая число параметров модели [9, 10], не приводит к качественно новым эффектам.

а гамильтониан \tilde{H}_{And} отличается от (2) заменой ϵ_A на перенормированную энергию $\epsilon_A = \epsilon_A + 2\phi$ с учетом сдвига электронного уровня адатома в поле изображения его ионного остова. Последний член в (7) описывает притяжение ионного остова к своему изображению.

Подставляя (4) и (5) в выражение (8) для φ и переходя от суммирования по q к интегрированию, получаем известную формулу для потенциала изображения классического заряда вблизи поверхности металла [12-14]

$$[\varphi(x) = \frac{1}{4\pi} \int \frac{d^3 q}{q} \frac{1 - \epsilon_s(q)}{1 + \epsilon_s(q)} \exp(-2qx)]. \quad (9)$$

2. Функция Грина адатома и энергия хемосорбции

Причинная функция Грина электрона адатома в состоянии $|A\rangle$ для гамильтониана (7) имеет вид [1]

$$\begin{aligned} G_{A\sigma}(\omega) &= [\omega - \tilde{\epsilon}_A - \Sigma_{A\sigma}(\omega) - \Delta(\omega) + i\Delta(\omega) \operatorname{sign}(\omega)]^{-1}, \\ \Delta(\omega) &= \frac{1}{\pi} \int_{-\infty}^{\infty} d\omega' \Delta(\omega') (\omega - \omega')^{-1}, \\ \Delta(\omega) &= \pi \sum_{\mathbf{k}} |V_{A\mathbf{k}}|^2 \delta(\omega - \epsilon_{\mathbf{k}}), \end{aligned} \quad (10)$$

$\Sigma_{A\sigma}(\omega)$ — массовый оператор, учитывающий взаимодействие электронов между собой и с поверхностными плазмонами.

Для того чтобы вычислить функции $\Delta(\omega)$ и $\Delta(\omega)$, необходимо знать детальную электронную структуру подложки. Однако в рамках используемой феноменологической модели можно пре-небречь зависимостью $\Delta(\omega)$ и $\Delta(\omega)$ от ω и считать Δ и Δ затравочными параметрами, которые должны определяться из сравнения теории с экспериментом.

Собственная энергия электронов $\Sigma_{A\sigma}(\omega)$ в приближении Хартри—Фока определяется вкладом диаграмм, представленных на рис. 1, где волнистая линия соответствует функции Грина поверхностных плазмонов

$$D_s(q, \omega) = \frac{2 |\alpha(q)|^2 \omega_q}{\omega^2 - \omega_q^2 + i0}, \quad (11)$$

а пунктир — потенциалу U_A . При этом диаграммы *a*, *b* и *c* дают статический вклад в $\Sigma_{A\sigma}(\omega)$, равный

$$\Sigma'_{A\sigma} = (U_A - 2\phi) \langle n_{A-\sigma} \rangle - 2\phi \langle n_{A\sigma} \rangle, \quad (12)$$

$$\langle n_{A\pm\sigma} \rangle = \frac{1}{2\pi i} \oint_C d\omega G_{A\pm\sigma}(\omega). \quad (13)$$

(Контур интегрирования *C* проходит вдоль вещественной оси и замыкается в верхней полуплоскости).

Таким образом, учет взаимодействия с поверхностными плазмонами приводит к уменьшению кулоновского отталкивания между двумя электронами на адатоме за счет эффективного притяжения, которое возникает в статическом пределе $\omega \rightarrow 0$, согласно (11), благодаря обмену виртуальными плазмонами. С точки зрения классических представлений о силах изображения ослабление отталкивания между электронами вблизи поверхности металла обусловлено притяжением каждого из электронов к изображению своего партнера.

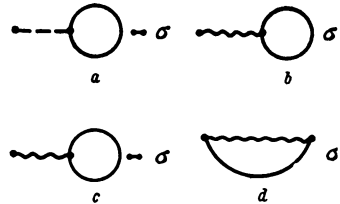


Рис. 1.

Отметим, что величина перенормированного потенциала $\tilde{U}_A = U_A - 2\varphi$ мала как для адатомов малого радиуса (из-за большой величины φ), так и для адатомов большого радиуса (из-за малости величины U_A), что оправдывает применение приближения Хартри—Фока по электрон-электронному взаимодействию.

Динамический вклад в $\Sigma_{A\sigma}(\omega)$, определяемый диаграммой на рис. 1, может быть приближенно вычислен, если пренебречь малыми членами порядка φ/ω_p , а также дисперсией поверхностных плазмонов, полагая $\omega_q \approx \omega_0 \equiv \omega_p/\sqrt{2}$ [7]. В первом порядке теории возмущений по электрон-плазмонному взаимодействию получаем

$$\Sigma'_{A\sigma}(\omega) = \varphi\omega_0 \frac{(\omega - \varepsilon_\sigma)[(\omega - \varepsilon_\sigma)^2 + \Delta^2 - \omega_0^2] + \omega_0(1 - 2\langle n_{A\sigma} \rangle)[(\omega - \varepsilon_\sigma)^2 - \Delta^2 - \omega_0^2]}{[(\omega - \varepsilon_\sigma - \omega_0)^2 + \Delta^2][(\omega - \varepsilon_\sigma + \omega_0)^2 + \Delta^2]}, \quad (14)$$

$$\varepsilon_\sigma = \varepsilon_0 + 2\varphi + \Sigma_{A\sigma}(\varepsilon_\sigma); \quad \varepsilon_0 = \varepsilon_A + \Delta. \quad (15)$$

Подставляя (12) и (14) в (10), получаем для функции Грина адатома выражение

$$G_{A\sigma}(\omega) \cong \begin{cases} [\omega - \varepsilon_0 - \varphi - U_A \langle n_{A-\sigma} \rangle + i\Delta \operatorname{sign}(\omega)]^{-1}, & \omega \sim \varepsilon_0, \\ (\varphi/\omega_0) \langle n_{A\sigma} \rangle (\omega + \omega_0 - i0)^{-1}, & \omega \sim -\omega_0. \end{cases} \quad (16)$$

С помощью (16) вычислим энергию хемосорбции [15]

$$\Delta E \equiv E(\infty) - E(x) = \varphi + (-I + \Phi) - \sum_{\sigma} \oint_C \frac{d\omega}{4\pi i} [2\omega - \Sigma_{A\sigma}(\omega)] G_{A\sigma}(\omega), \quad (17)$$

где $E(x)$ — энергия основного состояния системы, состоящей из подложки и адатома на расстоянии x от поверхности; I — потенциал ионизации изолированного атома; Φ — работа выхода подложки. Подставляя (16) в (17), находим

$$\Delta E = -I + \Phi - \varepsilon_0 + (\varepsilon_0 + \varphi)Q - U_A \langle n_{A\sigma} \rangle \langle n_{A-\sigma} \rangle + \frac{\Delta}{2\pi} \sum_{\sigma} \ln \left(\frac{\varepsilon_D^2 + \Delta^2}{\varepsilon_\sigma^2 + \Delta^2} \right), \quad (18)$$

где ε_D — расстояние от дна зоны проводимости металла до уровня Ферми, а Q — эффективный заряд адатома, равный

$$Q = 1 - \langle n_{A\sigma} \rangle - \langle n_{A-\sigma} \rangle. \quad (19)$$

Выделяя из (18) члены, пропорциональные φ , получаем ионную (электростатическую) часть энергии адсорбции

$$\Delta E_{\text{ion}} = \varphi Q + 2\varphi \langle n_{A\sigma} \rangle \langle n_{A-\sigma} \rangle, \quad (20)$$

которая существенно отличается от потенциала изображения классического заряда φQ^2 .

3. Взаимодействие между адатомами

Рассмотрим на основе описанной выше обобщенной модели Андерсона взаимодействие между двумя адатомами A и B , находящимися на расстоянии R друг от друга. Гамильтониан системы с учетом прямого взаимодействия адатомов за счет перекрытия их электронных оболочек H_{dir} , кулоновского отталкивания ионных островов и электронов, а также их взаимодействия с поверхностными плазмонами имеет вид

$$H_{AB} = \sum_{\mathbf{k}\sigma} \varepsilon_{\mathbf{k}} n_{\mathbf{k}\sigma} + H_{\text{dir}} + \frac{1}{R} \left(1 + \sum_{\sigma\sigma'} n_{A\sigma} n_{B\sigma'} \right) + \sum_{\mathbf{q}} \omega_{\mathbf{q}} \left(a_{\mathbf{q}}^+ a_{\mathbf{q}} + \frac{1}{2} \right) + H_A + H_B + V_{AB}^{(e)} + V_{AB}^{(i)}, \quad (21)$$

$$\left. \begin{aligned} H_{\text{dir}} &= \sum_{\sigma} V_{AB} c_{A\sigma}^+ c_{B\sigma} + \text{а. с.}, \\ H_{\alpha} &= \sum_{\sigma} \left(\epsilon_{\alpha} - \frac{1}{R} \right) n_{\alpha\sigma} + U_{\alpha} n_{\alpha\sigma} n_{\alpha-\sigma} + \sum_{\mathbf{k}\sigma} (V_{\alpha\mathbf{k}} c_{\alpha\sigma}^+ c_{\mathbf{k}\sigma} + \text{а. с.}), \\ V_{AB}^{(\epsilon)} &= \sum_{\mathbf{q}\sigma} \alpha(\mathbf{q}) (n_{A\sigma} + n_{B\sigma} e^{i\mathbf{q}\mathbf{R}}) a_{\mathbf{q}} + \text{а. с.}; \\ V_{AB}^{(\epsilon)} &= - \sum_{\mathbf{q}} \alpha(\mathbf{q}) (1 + e^{i\mathbf{q}\mathbf{R}}) a_{\mathbf{q}} - \text{а. с.} \end{aligned} \right\} \quad (22)$$

Слагаемое $1/R$ в (22) появляется из-за понижения энергии атома адатома ($\alpha = A, B$) в поле ионного остова другого адатома. Исключая из (21) член $V_{AB}^{(\epsilon)}$ с помощью подстановки

$$a_{\mathbf{q}} = b_{\mathbf{q}} + \alpha^*(\mathbf{q}) (1 + e^{-i\mathbf{q}\mathbf{R}})/\omega_{\mathbf{q}}$$

и применяя к полученному гамильтониану технику функций Грина, можно показать, что взаимодействие адатомов через бозонное поле поверхностных плазмонов совпадает с электростатическим взаимодействием двух классических зарядов Q вблизи поверхности металла [14, 16]

$$\begin{aligned} Q^2 \psi(R) &= Q^2 \left[\frac{1}{R} - \sum_{\mathbf{q}} \alpha^*(\mathbf{q}) \alpha(\mathbf{q}) (e^{i\mathbf{q}\mathbf{R}} + e^{-i\mathbf{q}\mathbf{R}})/\omega_{\mathbf{q}} \right] = \\ &= \frac{Q^2}{R} - \frac{Q^2}{4\pi} \int \frac{d^2 q}{q} \frac{1 - \epsilon_{\alpha}(\mathbf{q})}{1 + \epsilon_{\alpha}(\mathbf{q})} e^{-2qx} (e^{i\mathbf{q}\mathbf{R}} + e^{-i\mathbf{q}\mathbf{R}}). \end{aligned} \quad (23)$$

Наряду с этим необходимо учесть изменение заряда адатомов, т. е. эффект взаимной деполяризации адатомов, возникающий в результате сдвига их уровней на величину $-Q\psi$ и приводящий к дополнительному изменению энергии

$$\Delta E_{\text{dep}} = 2\tilde{U}_A (\langle n_{A\sigma} \rangle \langle n_{A-\sigma} \rangle - \langle n_{A\sigma} \rangle_{\infty} \langle n_{A-\sigma} \rangle_{\infty}) - 2(\epsilon_0 + \varphi)(Q - Q_{\infty}),$$

где индексом « ∞ » обозначены значения соответствующих величин при $R \rightarrow \infty$.

Учитывая полученные в [14] в приближении Томаса—Ферми предельные выражения потенциала взаимодействия

$$\psi \approx \begin{cases} \frac{1}{R} - \frac{1}{\sqrt{R^2 + 4x^2}}, & x \gg x^{-1}; \\ 1/(x^2 R^3), & x = 0, R \gg x^{-1}, \end{cases}$$

enver

в дальнейшем будем использовать следующую интерполяционную формулу

$$Q^2 \psi(R) \approx \frac{2p^2}{R^3}; \quad p = Q \left(x + \frac{1}{x \sqrt{x}} \right). \quad (24)$$

Здесь p — эффективный дипольный момент адатомов, определяющий изменение работы выхода подложки [17],

$$\Delta \Phi = -4\pi \theta p. \quad (25)$$

4. Субмонослойные пленки цезия на вольфраме

Используя полученные результаты, можно аналогично [9] рассмотреть субмонослойную пленку адатомов Cs на W для покрытий $\theta < \theta_m$, где θ_m соответствует одному заполненному монослою.

Для простоты будем пренебречь прямым взаимодействием между адатомами, что справедливо по крайней мере при малых покрытиях, а также «непрямым» взаимодействием через электроны проводимости металла—подложки [1] по сравнению с диполь-дипольным отталкиванием.

Электростатическое взаимодействие между адатомами приводит к сдвигу электронного уровня каждого адатома на величину

$$\Delta\epsilon_A = -Q \sum_{j \neq 0} \psi(R_j), \quad (26)$$

где R_j — координаты адатомов. Эффективный заряд Q необходимо вычислять самосогласованно по формулам (19) и (13) с учетом сдвига $\Delta\epsilon_A$.

Энергия хемосорбции атома в пленке определяется выражением (17), к которому следует добавить энергию электростатического взаимодействия адатомов

$$w = \frac{1}{2} Q^2 \sum_{j \neq 0} \psi(R_j). \quad (27)$$

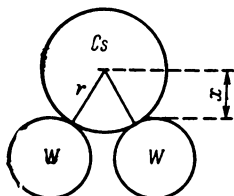


Рис. 2.

Заметим, что в силу дальнодействующего характера взаимодействия (24) при вычислении сумм в (26), (27) можно предположить, что адатомы находятся в узлах квадратной решетки [8] вместо наблюдаемой на эксперименте для системы Cs/W гексагональной решетки [1].

Для строгого определения дипольного момента адатома необходимо провести полный квантово-механический расчет системы адатом—подложка. Однако, как будет видно из дальнейшего, удовлетворительное количественное согласие теории с экспериментом может быть получено на основе выражения (24), где x определяется в рамках простой модели твердых шаров (рис. 2).

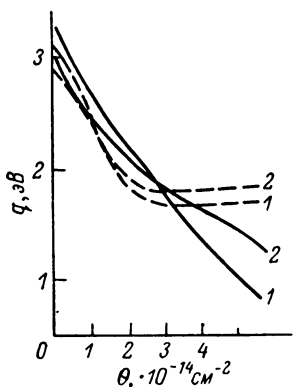


Рис. 3. Зависимости теплоты адсорбции q от покрытия θ для системы Cs/W для граней (110) (1) и (111) (2).

Сплошные линии — экспериментальные зависимости [1], штриховые — теоретические.

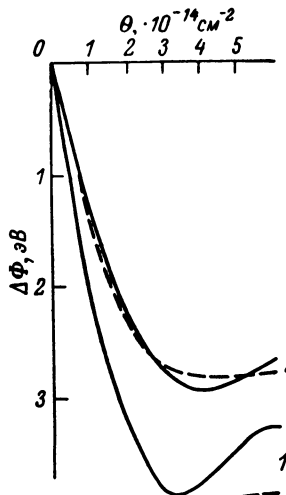


Рис. 4. Зависимости изменения работы выхода подложки $\Delta\Phi$ от покрытия θ для системы Cs/W.

Обозначения те же, что на рис. 3.

При этом учитывается, что радиус адатома r зависит от его заряда Q и определяется следующей интерполяционной формулой

$$r = [r_A^3 + Q(r_A^3 - r_i^3)]^{1/3}, \quad (28)$$

где r_A ($=2.68 \text{ \AA}$) и r_i ($=1.65 \text{ \AA}$) — атомный и ионный радиусы Cs [18].

Кулоновское отталкивание электронов на адатоме U_A определим как разность потенциала ионизации I ($=3.89 \text{ эВ}$) и энергии электронного состояния A ($=-0.39 \text{ эВ}$) атома Cs [3].

Дальнейшие расчеты проведены для граней вольфрама (110) (работа выхода $\Phi_{110}=5.30 \text{ эВ}$) и (111) ($\Phi_{111}=4.40 \text{ эВ}$) с учетом их кристаллографической структуры.

Полученные выше формулы содержат два неопределенных параметра: полуширину уровня адатома Δ и сдвиг уровня в приповерхностном поле металла $\Delta\epsilon = \epsilon_0 - (\Phi - I)$. Как и в [9], определим их путем согласования теоретической и экспериментальной зависимостей изменения работы выхода $\Delta\Phi$ на грани W (110) от покрытия Θ в области $0 < \Theta < \Theta_{\min}$, где Θ_{\min} соответствует минимуму работы выхода, что приводит к значениям $\Delta = -1.4$ эВ и $\Delta\epsilon = -0.6$ эВ. Эти значения параметров Δ и $\Delta\epsilon$ используются для расчета теплоты адсорбции $q(\Theta) = \frac{\partial}{\partial\Theta}(\Theta\Delta E)$ (рис. 3), а также $\Delta\Phi(\Theta)$ на грани W (111) (рис. 4). Как видно из рис. 3 и 4, теоретические зависимости удовлетворительно согласуются с экспериментальными при $\Theta < \Theta_{\min}$. Расхождение теоретических и экспериментальных кривых в области $\Theta > \Theta_{\min}$ связано, по-видимому, с металлизацией адсорбированных пленок [19, 20], которая не учитывается в рассмотренной модели.

В заключение выражаем благодарность А. И. Волокитину, А. Г. Мальшукову, В. К. Медведеву и А. Г. Наумовцу за полезные дискуссии.

Л и т е р а т у р а

- [1] Л. А. Большов, А. П. Напарович, А. Г. Наумовец, А. Г. Федорус. УФН, 122, 125, 1977.
- [2] P. W. Anderson. Phys. Rev., 124, 41, 1961.
- [3] J. W. Gadzuk, J. K. Hartman, T. N. Rhodin. Phys. Rev., B4, 241, 1971.
- [4] A. A. Lucas. Phys. Rev., B4, 2939, 1971.
- [5] A. A. Lucas, M. Sunjic. Surf. Sci., 32, 439, 1972.
- [6] R. H. Ritchie. Phys. Lett., 38A, 189, 1972.
- [7] A. C. Newson, D. M. Newns. Jap. J. Appl. Physl. Suppl., 2, Part 2, p. 925, 1974.
- [8] F. Andra, J. E. Uge. Surf. Sci., 83, 572, 1979.
- [9] J. P. Muscat, D. M. Newns. J. Phys., C7, 2630, 1974.
- [10] С. Ю. Давыдов. ФТТ, 19, 3376, 1977.
- [11] J. I. Gersten, N. Tzoag. Sol. St. Commun., 15, 425, 1974.
- [12] А. В. Сидякин. ЖЭТФ, 58, 573, 1970.
- [13] D. M. Newns. Phys. Rev., B1, 3304, 1970.
- [14] А. М. Габович, Л. Г. Ильченко, Э. А. Пашинский, Ю. А. Романов. ЖЭТФ, 75, 249, 1978.
- [15] B. Kjöllerström, D. J. Scalapino, J. R. Schrieffer. Phys. Rev., 148, 665, 1966.
- [16] В. Е. Кравцов. ФТТ, 21, 1560, 1979.
- [17] W. Kohn, K. H. Lau. Sol. St. Commun., 18, 553, 1976.
- [18] Физико-химические свойства элементов. Справочник (под ред. Г. В. Самсонова), «Наукова думка», Киев, 1965.
- [19] N. D. Lang. Phys. Rev., B4, 4234, 1971.
- [20] K. F. Wojciechowski. Surf. Sci., 55, 246, 1976.

Институт физики АН УССР
Киев

Поступило в Редакцию
24 декабря 1979 г.